

УДК 539.3

А.Н. Шупиков, д-р техн. наук,
Н.В. Сметанкина, д-р техн. наук,
Е.В. Свет, канд. техн. наук

ТЕРМОНАПРЯЖЕННОЕ СОСТОЯНИЕ МНОГОСЛОЙНЫХ НЕЗАМКНУТЫХ ЦИЛИНДРИЧЕСКИХ ОБОЛОЧЕК СЛОЖНОЙ ФОРМЫ В ПЛАНЕ

Одной из актуальных проблем, возникающих в различных областях современной техники, является обеспечение прочности и надежности конструкций и сооружений при воздействии температурных полей [1]. Применение численных методов к решению задач термоупругости конструкций сложной геометрии не снижает актуальности развития эффективных аналитических методов решения этих задач, в особенности для конструкций, выполненных из разнородных материалов [2, 3].

В большинстве работ исследовано термонапряженное состояние однородных пластин и оболочек. В статье [4] приведено решение задачи термоупругости о напряженно-деформированном состоянии неограниченной пластины, нагреваемой источником тепла. При этом предполагается, что температура и источник тепла изменяются линейно по толщине пластины. В работе [5] задача термоупругости для тонких пластин сложной формы решена методом R-функций, который учитывает сложную геометрию тел на аналитическом уровне. Поведение пластин описано на основе гипотез Кирхгофа – Лява. В статье [6] предложен альтернативный вариант метода граничных элементов к решению задач изгиба пластин, находящихся в температурном поле. Подход состоит в приведении задачи Дирихле для бигармонического оператора к последовательности распадающихся задач и последующей декомпозиции каждой из них в пару несвязанных задач для уравнения Пуассона. В качестве примера рассматривалась круговая защемленная пластина под действием распределенной температурной нагрузки. Для решения задач термоупругого изгиба многослойных оболочек, как правило, применяются численные методы, такие, как методы конечных разностей и конечных элементов [1, 7–10]. Таким образом, разработка эффективных методов, позволяющих представить решение задачи в аналитическом или численно-аналитическом виде, остается актуальной задачей.

В настоящей работе предложен новый подход к решению задачи термоупругости многослойных незамкнутых цилиндрических оболочек сложной формы в плане. В основу алгоритма решения положен метод погружения, ранее разработанный для решения статических и динамических задач многослойных пластин и оболочек [11, 12].

Вначале получим решение задачи теплопроводности. Для этого рассмотрим многослойную незамкнутую цилиндрическую оболочку, собранную из l изотропных слоев постоянной толщины h_i ($i = \overline{1, l}$), отнесенную к декартовой системе координат, которая связана с наружной поверхностью первого слоя (рис. 1).

На координатной плоскости оболочка занимает область Ω , ограниченную контуром Γ :

$$\Gamma: x_\Gamma = x(s), y_\Gamma = y(s), \quad (1)$$

где s – текущая длина дуги.

Обозначим верхнюю и нижнюю поверхности оболочки как Ω_0 и Ω_l , боковую поверхность – Ω_Γ , причем $\Omega = \Omega_0$, $\Omega_\Gamma = \sum_{i=1}^l \Omega_\Gamma^i$, $i = \overline{1, l}$.

На поверхностях оболочки происходит конвективный теплообмен.

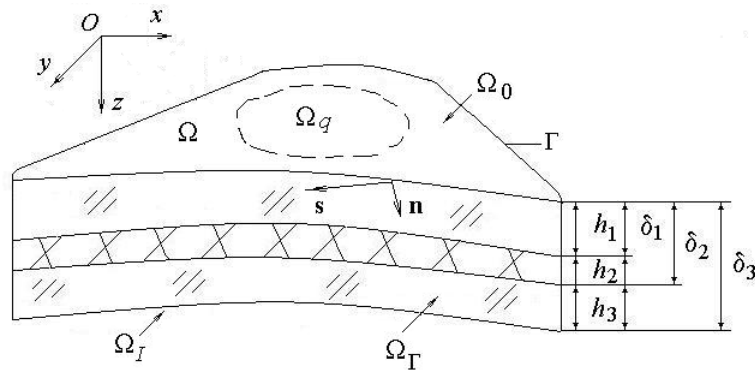


Рисунок 1 – Многослойная оболочка

Уравнение теплопроводности и граничные условия для многослойной оболочки получают из вариационного уравнения теплового баланса [13].

Преобразования вариационного уравнения позволяют получить условия на внешних поверхностях

$$-\xi_1^1 k_1 \frac{\partial T^1}{\partial z} + \xi_2^1 H_1 (T^1 - T_\epsilon) = 0, \quad (x, y, z) \in \Omega_0; \quad (2)$$

$$\xi_1^l k_l \frac{\partial T^l}{\partial z} + \xi_2^l H_l (T^l - T_H) = 0, \quad (x, y, z) \in \Omega_l \quad (3)$$

и на границе контакта слоев оболочки

$$k_i \frac{\partial T^i}{\partial z} - k_{i+1} \frac{\partial T^{i+1}}{\partial z} - q_\Omega^i = 0;$$

$$T^i = T^{i+1}, \quad z = \delta_i, \quad \delta_i = \sum_{j=1}^i h_j \quad i = \overline{1, l-1}. \quad (4)$$

Коэффициенты ξ_1^1 , ξ_2^1 , ξ_1^l и ξ_2^l дают возможность моделировать заданные граничные условия.

Температура T^i в слоях, T_Γ^i на боковой поверхности, а также удельные мощности Q^i внутренних источников тепла также представляются в виде разложения в ряд по полиномам Лежандра [14]

$$T^i(x, y, z, t) = \sum_{r=0}^{\infty} T_r^i(x, y, t) f_r^i(z), \quad (x, y) \in \Omega, \quad z \in [\delta_{i-1}, \delta_i], \quad (5)$$

$$T_\Gamma^i(x, y, z, t) = \sum_{r=0}^{\infty} T_{\Gamma r}^i(x, y, t) f_r^i(z), \quad (x, y) \in \Gamma, \quad (6)$$

$$Q^i(x, y, z, t) = \sum_{r=0}^{\infty} Q_r^i(x, y, t) f_r^i(z), \quad (x, y) \in \Omega_\Gamma^i, \quad (7)$$

где $f_r^i(z)$ – полином Лежандра степени r .

В разложениях (5) – (7) учитываются первые четыре члена ряда ($r = 0, 1, 2, 3$), что обеспечивает достаточную точность решения [14].

С учетом разложения (5) условия (2) – (4) образуют систему линейных алгебраических уравнений

$$[A]\tilde{\mathbf{T}} = ([B]\mathbf{T}_0 + [C]\mathbf{T}_1 + \mathbf{D}), \quad (8)$$

где $\tilde{\mathbf{T}} = (T_2^1 \quad T_3^1 \quad \dots \quad T_2^i \quad T_3^i \quad \dots \quad T_2^l \quad T_3^l)^T$;

$$\mathbf{T}_0 = (T_0^1 \quad \dots \quad T_0^i \quad \dots \quad T_0^l)^T;$$

$$\mathbf{T}_1 = (T_1^1 \quad \dots \quad T_1^i \quad \dots \quad T_1^l)^T.$$

Система (8) позволяет выразить коэффициенты T_2^i и T_3^i через коэффициенты T_0^i и T_1^i и записать распределение температуры в слоях оболочки (5) в следующем виде:

$$T^i = \sum_{j=1}^l [\varphi_{ij}^1 T_0^j + \varphi_{ij}^2 T_1^j] + \varphi_i^3, \quad i = \overline{1, l}, \quad (9)$$

где φ_{ij}^1 , φ_{ij}^2 , φ_i^3 получены в результате преобразований (8).

Таким образом, температура T^i в виде (9) удовлетворяет граничным условиям на наружных поверхностях оболочки Ω_0 и Ω_l и на границе контакта соседних слоев.

С учетом (6), (7) и (9), а также условий (2)–(4) вариационное уравнение приобретает вид

$$\begin{aligned} \delta X(T) = & \sum_{i=1}^I \left\langle - \int_{V_i} \left\{ k_i \Delta_R \left[\sum_{j=1}^I [\varphi_{ij}^1 T_0^j + \varphi_{ij}^2 T_1^j] + \varphi_i^3 \right] + \sum_{r=0}^3 Q_r^i f_r^i - \right. \right. \\ & - \rho_i c_i \left[\sum_{j=1}^I \left[\varphi_{ij}^1 \frac{\partial T_0^j}{\partial t} + \varphi_{ij}^2 \frac{\partial T_1^j}{\partial t} \right] \right\} + \frac{\partial \varphi_i^3}{\partial t} \left\{ \sum_{k=1}^I [\varphi_{ik}^1 \delta T_0^k + \varphi_{ik}^2 \delta T_1^k] \right\} dV + \\ & + \int_{\Omega_L^i} \left\{ k_i \frac{\partial}{\partial n} \left[\sum_{j=1}^I [\varphi_{ij}^1 T_0^j + \varphi_{ij}^2 T_1^j] + \varphi_i^3 \right] + H_\Gamma^i \left[\sum_{j=1}^I [\varphi_{ij}^1 T_0^j + \varphi_{ij}^2 T_1^j] + \varphi_i^3 \right] - \right. \\ & \left. - H_\Gamma^i \sum_{r=0}^3 T_{\Gamma r}^i f_r^i \right\} \cdot \left\{ \sum_{k=1}^I [\varphi_{ik}^1 \delta T_0^k + \varphi_{ik}^2 \delta T_1^k] \right\} d\Omega \Bigg\rangle = 0, \quad i, j, k = \overline{1, I}, \quad (10) \end{aligned}$$

где $\Delta_R = \frac{\partial^2}{\partial x^2} + \frac{1}{R_z^2} \frac{\partial^2}{\partial y^2} + \frac{1}{RR_z} \frac{\partial}{\partial z} + \frac{\partial^2}{\partial z^2}$, $R_z = 1 + \frac{z}{R}$;

R – радиус кривизны поверхности Ω_0 .

Отсюда получаем систему уравнений теплопроводности и систему граничных условий на боковой поверхности оболочки Ω_Γ^i .

Для решения задачи теплопроводности оболочки со сложной формой плана применяют метод погружения [11, 12]. Исходная многослойная оболочка произвольной формы в плане погружается во вспомогательную охватывающую многослойную оболочку с той же композицией слоев. Форма охватывающей оболочки и граничные условия на ее боковой поверхности выбирают таким образом, чтобы можно было получить простое аналитическое решение. В настоящей работе роль охватывающей оболочки выполняет оболочка прямоугольной формы в плане с нулевыми условиями на боковой поверхности.

Для реализации заданных граничных условий к вспомогательной оболочке вдоль контура Γ прилагаются дополнительные компенсирующие источники $q_{ir}^{comp}(x, y, z, t)$, $(x, y, z, t) \in \Omega_\Gamma^i$. Компенсирующие источники входят в уравнение теплопроводности в интегральном виде

$$Q_r^i(x, y, t) = \int_{\Gamma} q_{ir}^{comp}(x_\Gamma, y_\Gamma, t) \delta(x - x_\Gamma, y - y_\Gamma) ds, \quad r = \overline{1, r^*}, \quad (11)$$

где $\delta(x - x_\Gamma, y - y_\Gamma)$ – двумерная δ -функция Дирака.

Ядро уравнений представляет собой δ -функцию Дирака и имеет особенность в точках $x = x_\Gamma, y = y_\Gamma$ порядка $1/r^2$, где $r = \sqrt{(x - x_\Gamma)^2 + (y - y_\Gamma)^2}$.

Таким образом, исходная задача теплопроводности для оболочки со сложной формой плана преобразуется в задачу теплопроводности для оболочки прямоугольной формы в плане и описывается уравнением теплопроводности и граничными условиями на боковой поверхности оболочки, которые образуют систему сингулярных интегро-дифференциальных уравнением

$$[\Theta] \hat{T} = 0, \\ [B^\Gamma] \hat{T} [F(x, y, t)] - C^\Gamma = 0, \quad x, y \in \Gamma, \quad (12)$$

где $[\Theta]$, $[B^\Gamma]$ и C^Γ – матрицы, полученные в результате численных преобразований, а вектор \hat{T} составлен из чередующихся элементов T_0 и T_1 .

Затем функции $T_\alpha^i(x, y, t)$ и $Q_r^i(x, y, t)$ разлагаются в тригонометрические ряды по функциям, удовлетворяющим граничным условиям охватывающей прямоугольной оболочки:

$$T_\alpha^i(x, y, t) = \sum_{m=1}^{\infty} \sum_{n=1}^{\infty} T_{\alpha mn}^i(t) \sin \alpha_m x \sin \beta_n y, \\ Q_r^i(x, y, t) = \sum_{m=1}^{\infty} \sum_{n=1}^{\infty} Q_{rmn}^i(t) \sin \alpha_m x \sin \beta_n y, \quad (13)$$

$$Q_{rmn}^i(t) = \frac{4}{AB} \oint_{\Gamma} q_{ir}^{comp}(x_\Gamma, y_\Gamma, t) \sin \alpha_m x_\Gamma \sin \beta_n y_\Gamma ds; \quad (14)$$

$$\alpha_m = \frac{m\pi}{A}; \quad \beta_n = \frac{n\pi}{B}, \quad i = \overline{1, I}, \quad \alpha = \overline{0, 1}, \quad r = \overline{1, r^*}, \quad m = \overline{1, m^*}, \quad n = \overline{1, n^*}.$$

Это позволяет свести систему уравнений теплопроводности к интегрированию системы обыкновенных дифференциальных уравнений

$$[M] \hat{T}'_{mn} + [L^{mn}] \hat{T}_{mn} = F_{mn} \quad (15)$$

с начальными условиями

$$\hat{T}_{mn} = \hat{T}_{mn}^0, \quad t = 0.$$

Система (15) интегрируется методом разложения решения в ряд Тейлора [11]. Функции T_α^i и q_{ir}^{comp} , входящие в граничные условия (12) исходной оболочки, представляются в виде разложений вдоль контура Γ

$$T_{\alpha}^{i p+1}(s) = \sum_{\beta=1,2} \sum_{\mu=0}^{\infty} T_{\alpha\beta\mu}^{i p+1} b_{\beta\mu}(s),$$

$$q_{ir}^{comp p+1}(s) = \sum_{\beta=1,2} \sum_{\mu=0}^{\infty} q_{ir\beta\mu}^{comp p+1} b_{\beta\mu}(s), \quad i = \overline{1, l}, \quad r = \overline{1, r^*}. \quad (16)$$

В результате функции Q_{rmn}^i (14) и F_{mn}^i (15) приобретают вид

$$Q_{rmn}^{i p+1} = \sum_{\beta=1,2} \sum_{\mu=0}^{\infty} q_{ir\beta\mu}^{comp p+1} \Theta_{mn\beta\mu}, \quad F_{mn}^{i p+1} = \sum_{\beta=1,2} \sum_{\mu=0}^{\infty} F_{\mu\beta}^{i p+1} \Theta_{mn\beta\mu};$$

$$F_{\mu\beta}^{i p+1} = q_{i0\beta\mu}^{comp p+1} + \sum_{j=1}^l \left(\xi_i^{2j-1} q_{i1\beta\mu}^{comp p+1} + \xi_i^{2j} q_{i2\beta\mu}^{comp p+1} \right); \quad (17)$$

$$\Theta_{mn\beta\mu} = \frac{4}{AB} \int_{\Gamma} \sin \frac{m\pi x_{\Gamma}}{A} \sin \frac{n\pi y_{\Gamma}}{B} b_{\beta\mu} ds,$$

$$i = \overline{1, l}, \quad r = \overline{1, r^*}, \quad \beta = 1, 2, \quad \mu = \overline{0, \mu^*}.$$

Функции, образующие систему (12), также разлагаются в ряд вдоль контура Γ . В результате с учетом (16) и (17) решение системы сингулярных интегро-дифференциальных уравнений (12) на каждом шаге по времени сводится к решению системы линейных алгебраических уравнений относительно коэффициентов разложения в ряд вдоль контура Γ функций компенсирующих источников $q_{ir\beta\mu}^{comp p+1}$, заданных в виде (17).

После вычисления интенсивностей компенсирующих источников (16) с учетом (5) и (10) определяют значения температуры в слоях оболочки (9).

Перейдем к решению задачи термоупругости. Как и ранее, рассмотрим многослойную незамкнутую цилиндрическую оболочку, занимающую на координатной плоскости область Ω , ограниченную контуром Γ (см. рис. 1), собранную из изотропных слоев постоянной толщины h_j . На оболочку действуют температурные поля и силовые нагрузки

$$\mathbf{P} = \{p_j(x, y)\}, \quad j = \overline{1, 3l+3}, \quad (x, y) \in \hat{\Omega}, \quad \hat{\Omega} \subset \Omega.$$

Распределение температуры в слоях оболочки является результатом решения задачи теплопроводности.

Поведение оболочки описывается в рамках уточненной теории первого порядка, учитывающей деформации поперечного сдвига и обжатие по толщине в каждом слое оболочки. Перемещения точки i -го слоя определяются выражениями

$$u_k^i = u_k + \sum_{j=1}^{i-1} h_j u_{3+l(k-1)+j} + (z - \delta_{i-1}) u_{3+l(k-1)+i}, \quad k = \overline{1, 2, 3}, \quad i = \overline{1, l}, \quad (18)$$

где $u_k = u_k(x, y)$, $k = 1, 2, 3$ – перемещения точки координатной плоскости в направлении координатных осей; $u_{3+l(k-1)+i} = u_{3+l(k-1)+i}(x, y)$, $k = 1, 2$ – углы поворота нормального элемента в i -м слое вокруг координатных осей; $u_{3+2l+i} = u_{3+2l+i}(x, y)$ – обжатие нормального элемента в пределах i -го слоя; $\delta_i = \sum_{j=1}^i h_j$, $\delta_{i-1} \leq z \leq \delta_i$, $i = \overline{1, l}$.

Деформации слоев определяют согласно формулам Коши, а напряжения и деформации в слоях в соответствии с гипотезой Дюамеля – Неймана связаны законом Гука [15].

Уравнения термоупругого равновесия многослойной оболочки

$$[\mathbf{L}] \mathbf{U} = \mathbf{P}_T - \mathbf{P}, \quad (x, y) \in \Omega \quad (19)$$

и граничные условия на контуре Γ

$$[\mathbf{B}^\Gamma] \mathbf{U} = \mathbf{P}^\Gamma, \quad (x, y) \in \Gamma \quad (20)$$

получены из принципа возможных перемещений [15].

Элементы симметричной матриц $[\mathbf{L}]$ и $[\mathbf{B}^\Gamma]$ приведены в работе [11], \mathbf{U} – вектор, компонентами которого являются функции (18):

$$\begin{aligned} \mathbf{P}_T &= \{C_{1T,x}^l, C_{2T,y}^l, -C_{2T}^l/R, D_{1T,x}^l, D_{2T,y}^l, -C_{1T}^l - D_{2T}^l/R\}; \\ \mathbf{P}^\Gamma &= \{C_{1T}^l l_x^2 + C_{2T}^l l_y^2, (C_{1T}^l - C_{2T}^l) l_x l_y, 0, D_{1T}^l l_x^2 + D_{2T}^l l_y^2, (D_{1T}^l - D_{2T}^l) l_x l_y, 0\}; \\ C_{1T}^l &= \sum_{i=1}^l N_{1T}^i, \quad C_{2T}^l = \sum_{i=1}^l N_{2T}^i, \quad D_{1T}^l = h_i \sum_{j=i}^{l-1} N_{1T}^{j+1} + M_{1T}^i; \\ D_{2T}^l &= h_i \sum_{j=i}^{l-1} N_{2T}^{j+1} + M_{2T}^i, \quad N_{1T}^i = \frac{E_i \alpha_T^i}{1 - \nu_i} \int_{\delta_{i-1}}^{\delta_i} T_i \left(1 + \frac{z}{R}\right) dz; \\ N_{2T}^i &= \frac{E_i \alpha_T^i}{1 - \nu_i} \int_{\delta_{i-1}}^{\delta_i} T_i dz, \quad M_{1T}^i = \frac{E_i \alpha_T^i}{1 - \nu_i} \int_{\delta_{i-1}}^{\delta_i} T_i (z - \delta_{i-1}) \left(1 + \frac{z}{R}\right) dz; \\ M_{2T}^i &= \frac{E_i \alpha_T^i}{1 - \nu_i} \int_{\delta_{i-1}}^{\delta_i} T_i (z - \delta_{i-1}) dz, \end{aligned}$$

где R – радиус оболочки; l_x, l_y – направляющие косинусы нормали к контуру Γ ; E_i – модуль Юнга материала i -го слоя; ν_i – коэффициент Пуассона; α_T^i – коэффициент линейного температурного расширения материала i -го слоя; $T_i = T_i(x, y, z)$ – функция приращения температуры относительно начала отсчета.

В основу решения краевой задачи (19), (20) положен метод погружения [11, 12]. Оболочка сложной формы (область Ω) погружается во вспомогательную многослойную цилиндрическую незамкнутую шарнирно опертую оболочку прямоугольной формы в плане с такой же композицией слоев.

Чтобы обеспечить выполнение заданных граничных условий (20), к вспомогательной оболочке прилагаются дополнительные компенсирующие нагрузки $\mathbf{Q}^{comp} = \{q_j^{comp}(x, y, t)\}$, $j = \overline{1, 3l+3}$, распределенные вдоль контура Γ .

Таким образом, исходная краевая задача (19), (20) преобразуется в задачу об изгибе вспомогательной шарнирно опертой оболочки прямоугольной формы в плане и описывается:

– системой уравнений термоупругого равновесия

$$[\mathbf{A}] \mathbf{U} = \mathbf{P}^T - \mathbf{P} - \mathbf{P}^{comp}, \quad (21)$$

– граничными условиями на контуре прямоугольной оболочки

$$[\mathbf{B}^r] \mathbf{U} = 0, \quad x = 0, A, \quad y = 0, B, \quad (22)$$

– условиями на контуре Γ

$$[\mathbf{B}^\Gamma] \mathbf{U} = \mathbf{P}^\Gamma, \quad (x, y) \in \Gamma. \quad (23)$$

В уравнения термоупругого равновесия оболочки (21) компенсирующие нагрузки входят в виде следующих интегральных соотношений:

$$p_j^{comp}(x, y, t) = \sum_{k=1}^{3l+3} \oint_{\Gamma} L_{jk} q_k^{comp}(s, t) \delta(x - x_\Gamma, y - y_\Gamma) ds. \quad (24)$$

С учетом соотношений (24) система (21)–(23) преобразуется в систему сингулярных интегро-дифференциальных уравнений. Неизвестными функциями являются функции перемещений \mathbf{U} (18) и компенсирующих нагрузок \mathbf{P}^{comp} (24).

Метод решения системы (21)–(23) состоит в разложении функций перемещений, заданных и компенсирующих нагрузок в тригонометрические ряды по функциям, удовлетворяющим граничным условиям оболочки прямоугольной формы в плане

$$u_j(x, y) = \sum_{m=1}^{\infty} \sum_{n=1}^{\infty} \phi_{jmn} B_{jmn}(x, y); \quad p_j(x, y) = \sum_{m=1}^{\infty} \sum_{n=1}^{\infty} p_{jmn} B_{jmn}(x, y);$$

$$p_{Tj}(x, y) = \sum_{m=1}^{\infty} \sum_{n=1}^{\infty} p_{jmn}^T B_{jmn}(x, y);$$

$$p_j^{comp}(x, y) = \sum_{m=1}^{\infty} \sum_{n=1}^{\infty} p_{jmn}^{comp} B_{jmn}(x, y), \quad j = \overline{1, 3l+3};$$

$$\begin{aligned}
B_{1mn} &= \cos \alpha_m x \sin \beta_n y, \quad B_{2mn} = \sin \alpha_m x \cos \beta_n y; \\
B_{3mn} &= \sin \alpha_m x \sin \beta_n y, \quad B_{3+i mn} = B_{1mn}, \quad B_{3+l+i mn} = B_{2mn}; \\
B_{3+2l+i mn} &= B_{3mn}, \quad \alpha_m = m\pi/A, \quad \beta_n = n\pi/B, \quad i = \overline{1, l},
\end{aligned}$$

где A – длина образующей вспомогательной оболочки; B – длина дуги этой оболочки.

В результате система (21) для каждой пары значений m и n сводится к системе линейных алгебраических уравнений

$$[\mathbf{\Lambda}^{mn}] \Phi_{mn} = \mathbf{P}_{mn} - \mathbf{P}_{mn}^T + \mathbf{P}_{mn}^{comp}, \quad (25)$$

где $\Phi_{mn} = \{\phi_{jmn}\}$, $\mathbf{P}_{mn} = \{p_{jmn}\}$, $\mathbf{P}_{mn}^T = \{p_{jmn}^T\}$, $\mathbf{P}_{mn}^{comp} = \{p_{jmn}^{comp}\}$.

С учетом решения системы (25) решение системы (21) запишется в форме

$$u_j(x, y) = \sum_{m=1}^{\infty} \sum_{n=1}^{\infty} \sum_{k=1}^{3l+3} \Delta_{jk}^{mn} (p_{jmn} - p_{jmn}^T + p_{jmn}^{comp}) B_{jmn}(x, y). \quad (26)$$

Здесь Δ_{jk}^{mn} – элементы матрицы $[\mathbf{\Lambda}^{mn}]^{-1}$, $j = \overline{1, 3l+3}$.

Функции компенсирующих нагрузок $\mathbf{P}^{comp} = \{p_j^{comp}(x, y)\}$ также разлагаются в ряд вдоль следа контура Γ [8, 10]:

$$p_j^{comp}(\varphi) = \sum_{\alpha=1,2} \sum_{\mu=0}^{\infty} p_{j\alpha\mu} b_{\alpha\mu}(\varphi), \quad j = \overline{1, 3l+3}, \quad (27)$$

где

$$b_{1\mu} = \sin[\mu\gamma(\varphi)], \quad b_{2\mu} = \cos[\mu\gamma(\varphi)], \quad 0 \leq \gamma(\varphi) \leq 2\pi.$$

Граничные функции, входящие в систему сингулярных интегродифференциальных уравнений (23), также разлагаются в ряд вдоль следа контура Γ [11, 12]. В итоге система (23) с учетом зависимости (26) и разложения (27) приобретает вид системы линейных алгебраических уравнений относительно коэффициентов разложения компенсирующих нагрузок в ряд вдоль следа контура Γ . Порядок полученной системы зависит от числа слоев в оболочке l и количества членов ряда, удерживаемых в разложении (27). После определения компенсирующих нагрузок вычисляются перемещения (26) в слоях исходной оболочки.

В качестве иллюстрации работоспособности и эффективности разработанного метода решена задача термоупругости пятислойной оболочки, контур которой составлен из отрезков прямых и сопряженных с ними дуг окружностей.

На рис. 2 приведена расчетная схема оболочки радиусом 2,5 м с такими геометрическими параметрами: $l_1 = 0,88$ м; $l_2 = 0,16$ м; $l_3 = 0,61$ м; $l_4 = 0,26$ м; $R_k = 0,03$ м; $k = \overline{1, 4}$. Слои оболочки

выполнены из материалов со следующими характеристиками:
 $E_i = 6,8 \cdot 10^4$ МПа, $\nu_i = 0,22$, $\alpha_T^i = 9 \cdot 10^{-6} \text{ } ^\circ\text{C}^{-1}$, $i = 1, 3, 5$;
 $E_i = 2,2 \cdot 10^2$ МПа, $\nu_i = 0,38$, $\alpha_T^i = 8,3 \cdot 10^{-5} \text{ } ^\circ\text{C}^{-1}$, $i = 2, 4$;
 $h_1 = 0,005$ м, $h_2 = 0,003$ м, $h_3 = 0,012$ м, $h_4 = 0,002$ м, $h_5 = 0,008$ м.
 Предполагается, что силовые нагрузки отсутствуют.

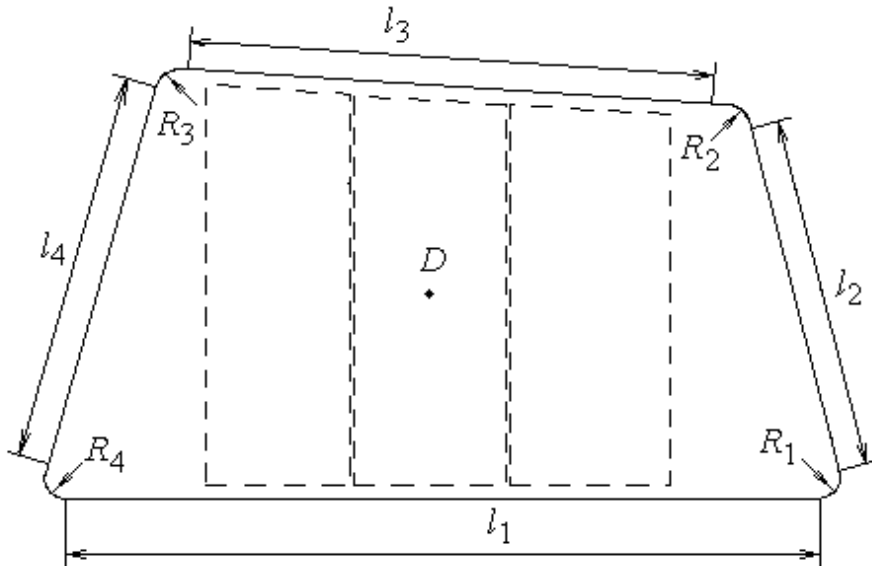


Рисунок 2 – Расчетная схема оболочки

Поле температурных нагрузок получено из решения нестационарной задачи теплопроводности многослойных оболочек [11] с учетом воздействия пленочного источника. Боковая поверхность оболочки считается идеально теплоизолированной. Задача теплопроводности решена при таких исходных данных: $k_i = 1,08$ Вт/(м·°C), $i = 1, 3, 5$; $k_i = 0,22$ Вт/(м·°C), $i = 2, 4$ (коэффициенты теплопроводности материала i -го слоя); $H_1 = 433$ Вт/(м²·°C), $H_2 = 20$ Вт/(м²·°C) (коэффициенты конвективного теплообмена на верхней и нижней поверхностях оболочки); $T_1 = -30^\circ\text{C}$, $T_2 = 20^\circ\text{C}$ (температура среды на границе с верхней и нижней поверхностями). Пленочный источник тепла мощностью $q = 6$ кВт/м² расположен между первым и вторым слоями оболочки. Расположение источника показано штриховой линией.

На рис. 3 представлено распределение температуры T и главного напряжения σ_1^i ($i = \overline{1, 5}$) по толщине оболочки в точке D , а также показана композиция слоев. Напряжения получены для температурного распределения в момент времени, когда температура на поверхности с источником достигает наибольшего значения. На поверхности раздела первого и второго слоев оболочки наблюдается резкое изменение температуры и напряжения, вызванное наличием источника тепла. При этом напряжение не превышает своего допустимого значения.

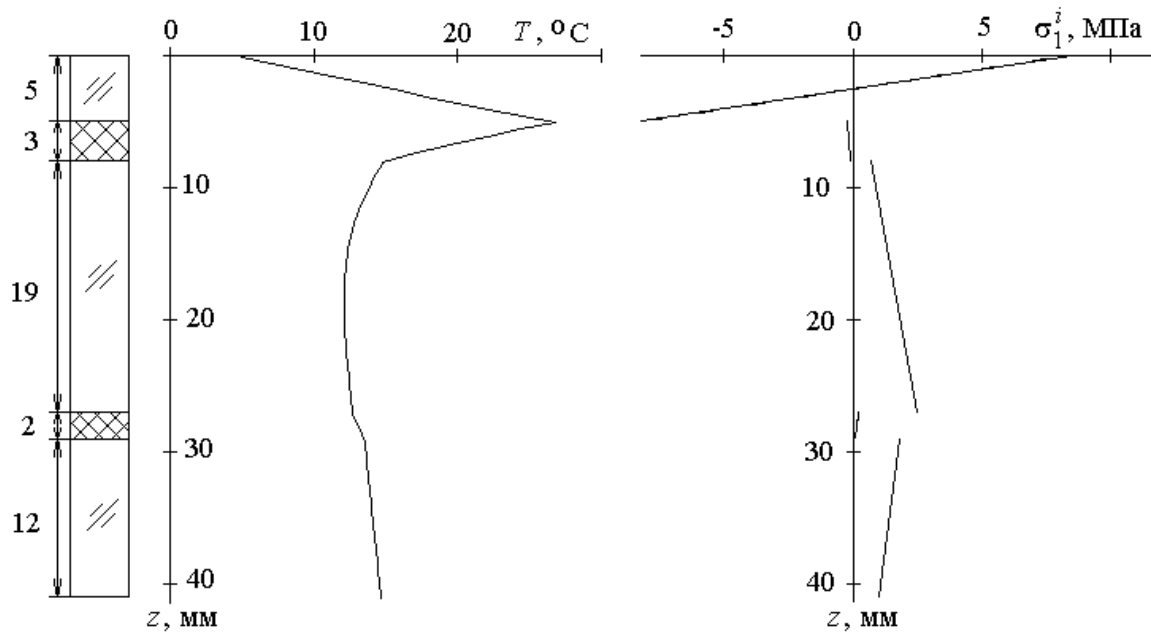


Рисунок 3 – Распределение температуры и напряжений в слоях оболочки

Таким образом, предложен метод решения задач термоупругости многослойных цилиндрических оболочек, который позволяет достоверно описывать напряженно-деформированное состояние многослойных элементов, собранных из слоев с различными механическими и геометрическими характеристиками. Представление решения в аналитическом виде позволяет изучить его структуру, выявить присущие ему свойства и особенности. В дальнейшем будет исследовано состояние оболочек при воздействии температурных полей, полученных из решения задачи теплопроводности многослойных оболочек.

Список использованных источников

1. Федик, И.И. Температурные поля и термонапряжения [Текст] / И.И. Федик, В.С. Колесов, В.Н. Михайлов. – М.: Энергоатомиздат, 1985.– 280 с.
2. Боли, Б. Теория температурных напряжений [Текст] / Б. Боли, Дж. Уэйнер.– М.: Мир, 1964.– 517 с.
3. Александров, А.Я. Решение плоских и пространственных основных задач теории упругости методом компенсирующих нагрузок [Текст] / А.Я. Александров // Механика деформируемых тел.– Ереван: Изд-во АН Арм. ССР, 1985.– С. 38 – 47.
4. Мотовиловец, И.А. О напряженном состоянии нагреваемой источником тепла пластины [Текст] / И.А. Мотовиловец // Прикл. механика.– 1995.– Т. 31, № 5.– С. 62–67.
5. Рвачев, В.Л. К решению одной задачи термоупругости для тонких изотропных пластин сложной геометрии [Текст] / В.Л. Рвачев,

В.П. Тицкий, А.Н. Шевченко // Матем. методы и физико-механич. поля.– 1984.– Вып. 19.– С. 62–65.

6. Туровцев, Г.В. Итерационный метод граничных интегральных уравнений для исследования изгиба температурного изгиба пластин [Текст] / Г.В. Туровцев, А.Т. Шадманов // Прикладные проблемы прочности и пластичности. Численное моделирование физико-механических процессов.– Н. Новгород, 1991.– С. 35–39.

7. Verijenko, V.E. Refined theory of laminated anisotropic shells for the solution of thermal stress problems [Текст] / V.E. Verijenko, T.R. Tauchert, C. Shaikh, P.Y. Tabakov // J. Thermal Stresses. – 1999. – V. 22, № 1. – P. 75 – 100.

8. Barut, A. Non-linear analysis of composite panels under non-uniform temperature distribution [Текст] / A. Barut, E. Madenci, A. Tessler // Int. J. Solids and Structures.– 2000. – V. 37, № 27.– P. 3681 – 3713.

9. Теплопроводность и термоупругость в многослойных конструкциях [Текст] / В.А. Кудинов, Б.В. Аверин, Е.В. Стефанюк, С.А. Назаренко. – Самара: Самар. ГТУ, 2006. – 304 с.

10. Oguamanam, D.C.D. Nonlinear transient response of thermally loaded laminated panels [Текст] / D.C.D. Oguamanam, J.S. Hansen, G.R. Heppler // Trans. ASME. J. Appl. Mech. – 2004.– V. 71, № 1.– P. 49 – 56.

11. Нестационарные колебания многослойных пластин и оболочек и их оптимизация [Текст] / А.Н. Шупиков, Я.П. Бузько, Н.В. Сметанкина, С.В. Угримов. – Х.: Изд. ХНЭУ, 2004. – 252 с.

12. Smetankina, N.V. A noncanonically-shape laminated plate subjected to impact loading. Theory and experiment [Текст] / N.V. Smetankina, A.N. Shupikov, S.Yu. Sotrikin, V.G. Yareschenko // Trans. ASME. J. Appl. Mechanics. – 2008.– V. 75, № 5. – P. 051004-1 – 051004-9.

13. Метод конечных элементов в механике твердых тел [Текст] / под общ. ред. А. С. Сахарова и И. Альтенбаха. – Киев: Вища шк., 1980. – 480 с.

14. Shupikov, A.N. Nonstationary heat conduction in complex-shape laminated plates [Текст] / A.N. Shupikov, N.V. Smetankina, Ye.V. Svet // Trans. ASME. J. Heat Transfer.– 2007. – V. 129, № 3. – P. 335 – 341.

15. Васидзу, К. Вариационные методы в теории упругости и пластичности [Текст] / К. Васидзу.– М.: Мир, 1987.– 542 с.

Поступила в редакцию 27.01.2014.

*Рецензент: д-р физ.-мат. наук, проф. А. Г. Николаев,
Национальный аэрокосмический университет
им. Н.Е. Жуковского «ХАИ», г. Харьков.*